

图 5 无桩筏板土反力分布曲线

Fig. 5 Distribution of reaction force on unpiled raft

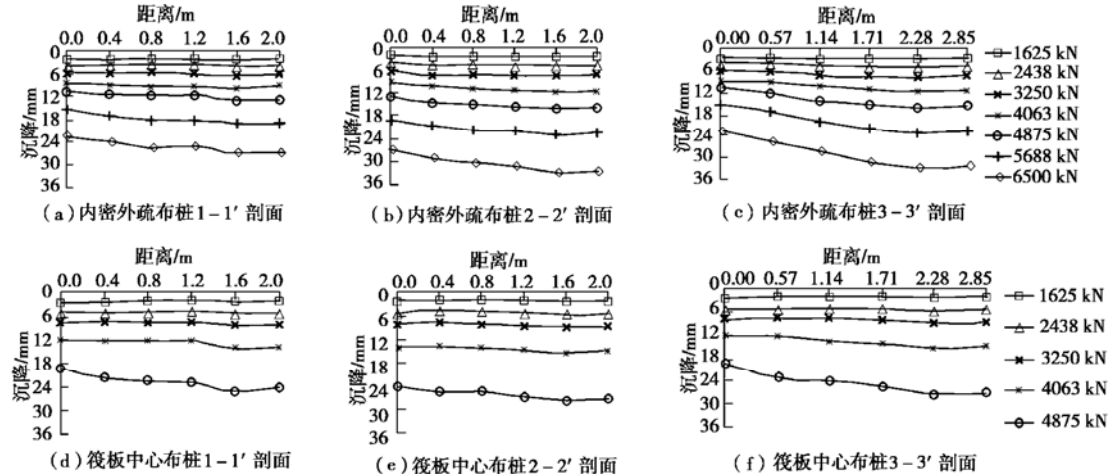


图 6 复合地基筏板沉降分布曲线

Fig. 6 Distribution of raft settlement of composite foundation

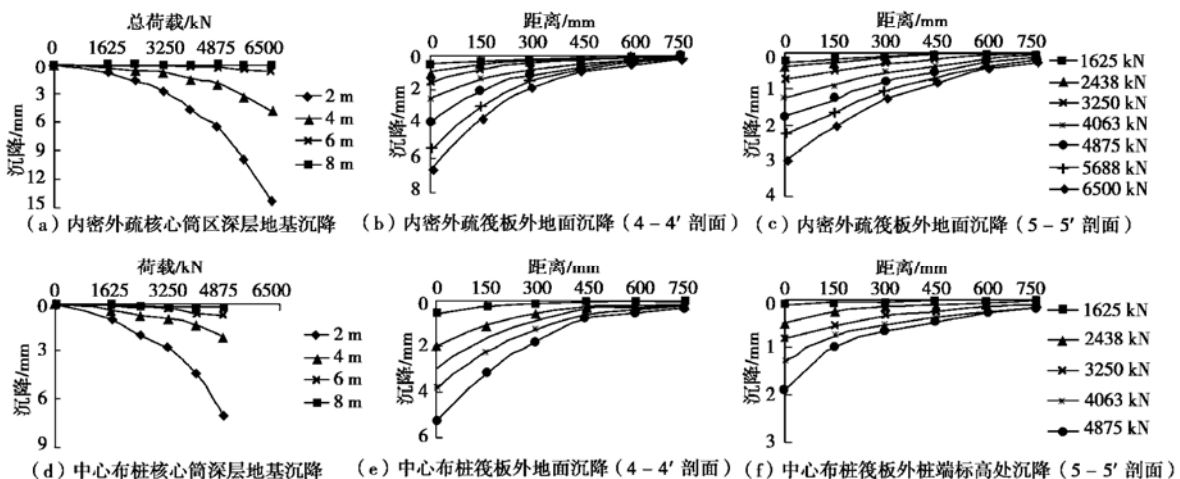


图 7 复合地基沉降影响曲线

Fig. 7 Effect of settlement of composite foundation

作荷载(第4级荷载)时, 核心筒区桩顶反力为44 kN (2491 kPa), 边桩位置为30.5 kN (1724 kPa), 角桩位置为13 kN (736 kPa)。桩顶反力分布形式与土反力分布形式相一致。

以上结果表明: 筏板下桩间土反力分布既与刚性桩复合地基布桩方式有关, 又与筏板荷载分布有关。

(4) 桩土荷载传递

图9为两种布桩方式复合地基核心筒角桩轴力分

布曲线。从图中可以看出, 两种布桩方式的桩身最大轴力均不在桩顶, 而在桩顶以下某一深度处, 因此, 桩顶以下一定范围内均存在负摩阻。

在核心筒角桩位置, 工作荷载(第4级荷载)时, 对于内密外疏布桩方式, 桩顶轴力为23.4 kN, 桩端轴力为9.4 kN, 桩身最大轴力为29.2 kN, 桩端阻力占桩顶总荷载的40%; 对于筏板中心布桩方式, 桩顶轴力为18.5 kN, 桩端轴力为11.2 kN, 桩身最大轴力为21.0

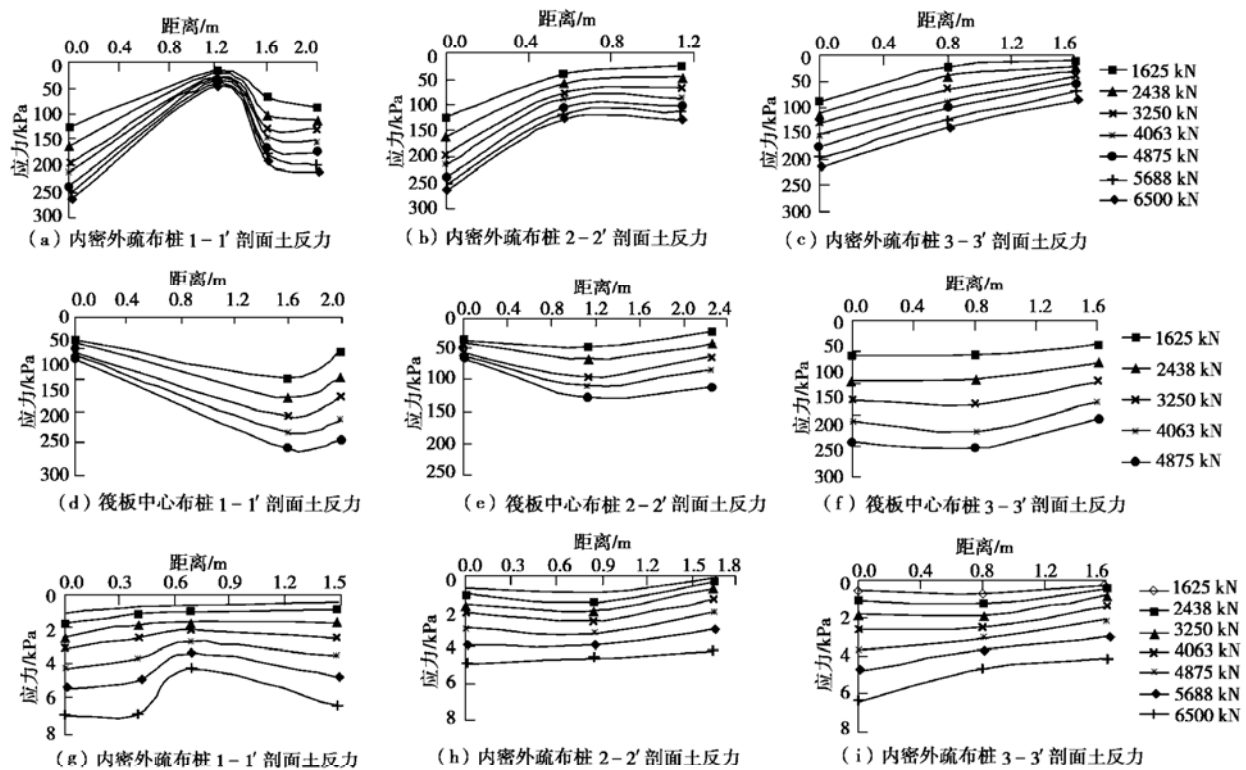


图8 复合地基桩土反力分布曲线

Fig. 8 Distribution of reaction force on piles and soil of composite foundation

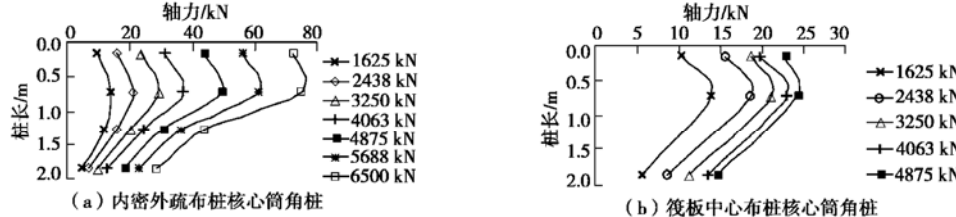


图9 复合地基桩身轴力分布

Fig. 9 Distribution of axis force of piles in composite foundation

kN，桩端阻力占桩顶总荷载的61%。

以上结果表明：内密外疏布桩方式中由于核心筒外桩对核心筒下桩间土的侧向约束，使得核心筒下桩间土侧摩阻提高，桩受力以摩擦为主，桩顶大部分荷载传递给桩间土；而筏板中心布桩方式桩对桩间土的侧向约束相对较弱，桩顶大部分荷载传递给桩端土，桩受力以端承为主。该结果与工作荷载下筏板中心布桩方式在筏板核心筒区桩端地基沉降略大于内密外疏布桩方式对应位置地基沉降结果相一致。

(5) 桩土荷载分担比

图10为两种布桩方式复合地基桩土荷载分担比曲线。从图中可以看出，两种布桩方式筏板下桩土荷载分担方式不同。

对于内密外疏布桩方式，随着筏板上作用的荷载增加，桩分担筏板荷载的比例逐渐增加，桩间土分担筏板荷载的比例逐渐减小。工作荷载（第4级荷载）时，桩分担筏板总荷载的比例为52%，桩间

土分担筏板总荷载的比例为48%。

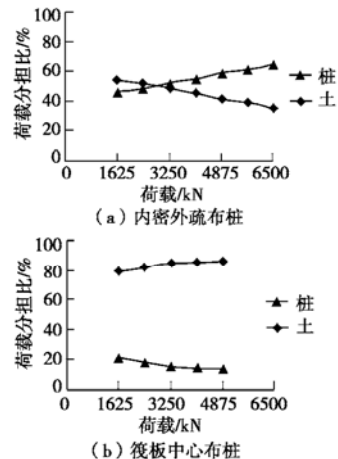


图10 复合地基桩土荷载分担比曲线

Fig. 10 Load share ratio of composite foundation

在筏板中心布桩方式中，随着筏板上作用的荷载增加，桩分担筏板荷载的比例逐渐减小，桩间土分担筏板荷载的比例逐渐增加。工作荷载（第4级

